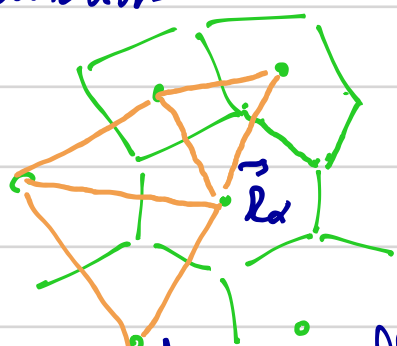


## IV Modèles de vertex et déformations macroscopiques des tissus

Nous voulons décrire à partir des modèles de vertex les déformations macroscopiques des tissus épithéliaux et les traduire dans le langage de la mécanique des milieux continus (élasticité ou hydrodynamique). En particulier nous voulons introduire les effets des transformations topologiques  $T_1$ ,  $T_2$  et division cellulaire. Le cours est basé sur l'article dans eLife en 2015 Guirao et al. et Merhel et al. Les approches sont assez similaires et je suivrai plusôt le travail du groupe de F. Jülicher.

L'idée est de partir du modèle de vertex à 2 dimensions et de le remplacer par un réseau dual de triangles dont on étudie les déformations.



On définit le centre de masse de la cellule  $\bar{R}_{\alpha\beta}$  et on trace le plan par tous les triangles adjacents. Chaque triangle relie les centres de masses des 3 cellules qui partagent un vertex. Pour chaque arête, on définit  $\bar{R}_{\alpha\beta} = \bar{R}_\beta - \bar{R}_\alpha$ . Il y a un triangle par vertex.

1. Déformation microscopique d'un triangle.

On définit la déformation par le déplacement  $\bar{R}_m$  de chaque vertex. Cela implique une déformation pour chaque triangle des 3 côtés  $\bar{R}_{\alpha\beta}$  qui deviennent  $\bar{R}'_{\alpha\beta}$ . Le tenseur de déformation du triangle n'est fixé par la déformation des 3 côtés par  $R'_{\alpha\beta} = (u_{ij} + \delta_{ij}) R_{\alpha\beta}$  ce qui est la définition de la déformation en élasticité classique. La déformation d'un triangle peut être décomposée en une rotation et un accroissement



pour et une dilatation. Seul la dilatation change l'aire

du triangle :  $U_{ij} = \frac{m_{hh}}{2} S_{ij} + \tilde{U}_{ij} - \psi E_{ij}$ . Le cisaillement par  $\tilde{U}_{ij}$  est symétrique et de trace nulle  $\tilde{U}_{hh} = 0$ .  $E_{ij}$  est le tenseur totalement antisymétrique  $E_{ij} = \begin{pmatrix} 0 & -1 \\ 1 & 0 \end{pmatrix}$  et  $\psi$  l'angle (xté de la rotation).

Pour évaluer la déformation, nous définissons pour chaque triangle un état de référence qui est un triangle équilatéral d'aire  $a_0$  et dont les 3 cotés sont  $\vec{c}_{\alpha\beta}$ . La déformation qui permet de passer de l'état de référence au triangle  $\tilde{\tau}_{\alpha\beta}$  est  $S_{ij} \tilde{\tau}_{\alpha\beta} = D_{ij} c_{\alpha\beta}$  où la déformation  $S_{ij}$  peut être grande ( $D$  est appelé tenseur de forme du triangle).

Comme  $U_{ij}$ ,  $S_{ij}$  s'écrit comme le produit d'une rotation d'angle  $\theta$ , d'un cisaillement par d'amplitude  $e^q$  et d'orientation  $q$  et d'une dilatation du triangle de  $a_0$  à  $a$  qui multiplie les longueurs d'un facteur  $\left(\frac{a}{a_0}\right)^{1/2}$ :  $D = \left(\frac{a}{a_0}\right)^{1/2} e^{q \tilde{R}(\theta)}$ . La matrice  $L = e^{q \tilde{R}(\theta)}$

du cisaillement par  $e^q$  allonge le triangle dans la direction  $\tilde{r}_1$  et le contracte dans la direction perpendiculaire. Dans la base propre  $e^q = \begin{pmatrix} e^q & 0 \\ 0 & e^{-q} \end{pmatrix}$  et  $\tilde{q} = \begin{pmatrix} q & 0 \\ 0 & -q \end{pmatrix}$ . Si l'élongation se fait

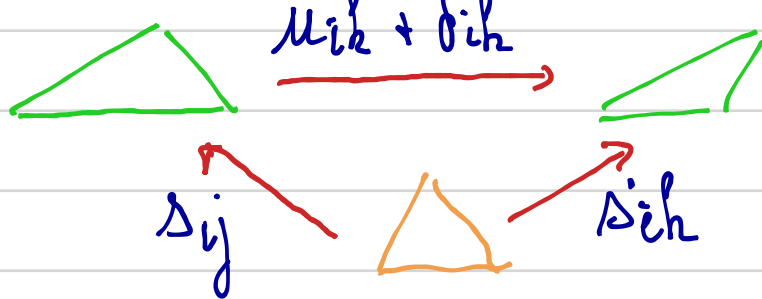
le long d'un rectangle  $\tilde{\tau}_1$  qui fait un angle  $q_f$  avec la direction de référence  $\tilde{q} = q \begin{pmatrix} \cos q_f & \sin q_f \\ \sin q_f & -\cos q_f \end{pmatrix}$

On peut alors écrire  $D = \left(\frac{a}{a_0}\right)^{1/2} [\tilde{S} + \tilde{\alpha}]$  où  $\tilde{\alpha} = ch q_f R(\theta)$

et  $\tilde{S} = \tilde{D} q \begin{bmatrix} \cos q_f - \theta & \sin q_f - \theta \\ \sin q_f - \theta & -\cos q_f - \theta \end{bmatrix}$   $\tilde{\alpha}$  contient la trace

et la partie antisymétrique du tenseur  $S$ ,  $\tilde{S}$  est de trace nulle et symétrique. Ces formules permettent de calculer  $q$ ,  $\theta$ ,  $q_f$  et  $\alpha$  si on connaît  $D$  soit la forme du triangle.

On fait maintenant une déformation du triangle étudié



$S_{ij}'$  est le tenseur de forme du triangle déformé

La relation entre les matrices  $S$  et  $s$  est  $S_{ij}' = (M_{ij} + S_{hh}) S_{ij}$ . L'ordre est important. On passe d'abord du triangle de référence au triangle non-déformé puis on déforme le triangle.

On suppose que la déformation du triangle est infinitésimale  $\delta_{ij}$ . La différence des tenseurs de forme  $S - S'$  est petite et  $\delta S_{ij} = S_{ij}' - S_{ij}$ . Soit  $\delta S_{ij} = \delta M_{ij} \delta_{ij}$ . Soit on multiplie à droite par l'inverse de la matrice  $S$   $\delta S_{ik} \delta_{ij}^{-1} = \delta S_{ij} = \frac{1}{2} \sum_k \delta_{kk} \delta_{ij} + \delta_{kj} - \delta_{ki} \epsilon_{ij}$ . La variation de la forme  $\delta S_{ij}$  est induite par un changement des paramètres  $\delta a$ ,  $\delta \varphi$ ,  $\delta q$  et  $\delta \theta$ . On peut calculer explicitement  $\delta S_{ij}$  en fonction de  $\delta a$ ,  $\delta \varphi$ ,  $\delta q$  et  $\delta \theta$  et identifier avec la valeur de  $\delta_{ij}$  on trouve

$$\delta S_{ij} = \frac{\delta a}{a} \quad \text{ce résultat est évident}$$

$\delta S_{ij} = \frac{a}{a} \delta \varphi_{ij} + \delta \varphi_{ij}$  il est presque égal à  $\tilde{\varphi}$  mais avec une correction et  $\delta \varphi = \delta \theta - \delta \xi$ . La rotation locale n'est pas exactement  $\delta \theta$  à cause de l'orientation du coordinateur.

Comme en hydrodynamique, on définit le tenseur des gradients de vitesses, le "tenseur de déformation" par  $\delta M_{ij} = \delta t N_{ij}$ .

Pour la partie diagonale comme on l'attend,  $\delta S_{ii} = \frac{1}{a} \frac{da}{dt}$   
Rq Si il ya un champ de vitesse  $\frac{da}{dt} = \frac{\partial a}{\partial t} + (\vec{U} \cdot \vec{\nabla}) a$

La partie antisymétrique de  $\delta S_{ij}$  est  $-\delta \varphi_{ij}$  ce qui définit une vitesse de rotation  $\omega = \frac{d\psi}{dt}$ . La rotation locale est différente de  $d\theta$  à cause de  $\frac{d\xi}{dt}$  qui dépend du coordinateur.

Rq : le tenseur de rotation est  $-wE_{ij} = \frac{1}{2}(v_{ij} - v_{ji})$  : la moitié du rotatonnael de la fibre

Enfin le taux de cisaillement pur est  $\tilde{v}_{ij}$ . On a envie d'écrire  $\tilde{v}_{ij} = \frac{D\tilde{q}_{ij}}{Dt}$  où  $\frac{D}{Dt}$  est une dérivée "corotationnelle". Pour exprimer

cette dérivée, il faut calculer explicitement  $\tilde{v}_{ij}$  et on trouve

$$\tilde{v}_{ij} = \frac{d\tilde{q}_{ij}}{dt} - 2C E_{ih} [c\omega + (1-c) \frac{dq}{dt}] \tilde{q}_{kj} \text{ où } C = \frac{th 2\varphi}{2\varphi}$$

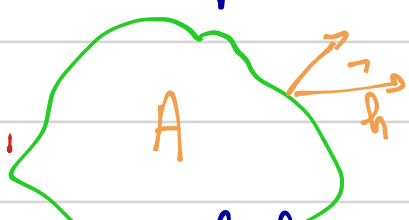
Une limite simple est celle où  $q \rightarrow 0$   $C=1 \frac{d\varphi}{dt} \rightarrow 0$  et  $\omega = \frac{d\theta}{dt}$

on trouve  $\frac{D\tilde{q}_{ij}}{Dt} = \frac{d\tilde{q}_{ij}}{dt} - 2\omega E_{ih} \tilde{q}_{kj} = \frac{d\tilde{q}_{ij}}{dt} + \omega E_{ih} \tilde{q}_{kj} - \omega \delta_{hi} \tilde{q}_{jh}$  où  $\omega_{ih} = -\omega E_{ih}$  est le tenseur de rotation. C'est

la formule usuelle de la dérivée corotationnelle d'un tenseur. (6 derniers calculs trouvés dans l'article de Merhel et al.).

## 2. Déformation macroscopique

Nous considérons maintenant une région macroscopique beaucoup plus grande qu'une cellule de taille  $A$  et on définit la déformation moyenne en fonction du déplacement de son centre:  $u_{ij} = \frac{1}{A} \int q_{ij} d\Omega$



$$A \text{ cause du théorème de Gauss } u_{ij} = \frac{1}{A} \int \partial_j u_i d\Omega^{(1)}$$

On peut ainsi calculer le tenseur de déformation de la région  $A$  en sommant sur toutes les arêtes de cellules du bord chaque arête définit la normale et en considérant que  $\vec{u}_h$  est le déplacement au milieu de l'arête. En dérivant la deuxième formule on trouve que  $u_{ij} = \frac{1}{A} \sum_n a_{nj} \partial_i u_h$  soit  $u_{ij} = \langle u_{ij} \rangle$  où la moyenne est faite sur l'aire des cellules. En faisant la même décomposition linéaire que pour

On définit à partir de  $\tilde{M}_{ij}$  la rotation  $\tilde{\psi} = \langle \psi \rangle$ , le cisaillement macroscopique  $\tilde{M}_{ij} = \langle \tilde{m}_{ij} \rangle$ , la dilatation moyenne  $\tilde{M}_{hh} = \langle M_{hh} \rangle$  et l'élargissement moyen des triangles  $\tilde{Q}_{ij} = \langle Q_{ij} \rangle$ . Comme pour un triangle  $M_{ij} = \frac{1}{2} \tilde{M}_{hh} S_{ij} + \tilde{m}_{ij} - \tilde{\psi} e_{ij}$ . Le taux de cisaillement est  $V_{ij} = \langle v_{ij} \rangle$  et ses composantes isotropes  $V_{hh}$  de cisaillement pur  $\tilde{V}_{ij}$  et de rotation  $\Omega = \langle \omega \rangle$ . En faisant le même raisonnement que pour un triangle, on veut écrire  $\tilde{V}_{ij}$  à une dérivée corrective de  $\tilde{Q}_{ij}$ :  $\tilde{V}_{ij} = \langle \tilde{D}\tilde{Q}_{ij} \rangle$  mais comme la dérivée corrective n'est pas linéaire cela.  $\frac{Dt}{\tilde{Q}_{ij}}$  n'est pas égal à  $\frac{D\tilde{Q}_{ij}}{Dt} = \frac{d\tilde{Q}_{ij}}{dt} - 2[C\Omega + (1-C)\frac{d\Omega}{dt}] \tilde{e}_{ij}$   $\tilde{Q}_{ij}$  et  $\Omega$  sont calculés à partir de  $\tilde{Q}_{ij}$  où  $C = \frac{Ph h \Omega}{hA}$ . Il y a un terme correctif dû au moyennage des fonctions non linéaires  $\left[ \frac{Ph h \Omega}{hA} \neq \langle Ph h \Omega \rangle \right]$ . On écrit donc

$$\tilde{V}_{ij} = \frac{D\tilde{Q}_{ij}}{Dt} + \tilde{D}_{ij}, \text{ où la correction } \tilde{D}_{ij} = \langle \tilde{D}\tilde{Q}_{ij} \rangle - \frac{D\tilde{Q}_{ij}}{Dt}$$

est le terme  $Dt$  de "corrections".

Pour le taux d'agrandissement  $V_{hh} = \langle N_{hh} \rangle = \langle \frac{da}{dt} \rangle = \frac{1}{A} \sum_n a_n$

$$\frac{1}{An} \frac{da_n}{dt} = \frac{1}{A} \frac{dA}{dt} = \frac{1}{\bar{a}} \frac{d\bar{a}}{dt} \text{ où } \bar{a} = \frac{A}{N} \text{ est } a$$

l'aire moyenne d'un triangle.

### 3. Contribution des transitions topologiques

La division cellulaire et les processus  $T_1$  et  $T_2$  (extinction ou mort cellulaire) changent de manière instantanée la topologie du réseau de cellules (de triangles), le cisaillement et la dilatation du réseau. En présence de ces transitions, on ne peut plus moyennier directement la déformation locale  $m_{ij}$  pour obtenir la déformation macroscopique car la déformation locale n'est pas définie sur toutes les cellules. On peut faire contre définir la déformation macroscopique d'une petite région de taille  $A$  par la déformation du bord de la région  $M_{ij} = \int_{\partial A} dl \cdot h_i m_j$

On fait de la relation  $\left\langle \frac{d\alpha_{ij}}{dt} \right\rangle = \left\langle \frac{d\alpha_{ij}}{dt} \right\rangle + \frac{\delta_{ij}}{2} \left\langle \frac{d\log \bar{a}}{dt} \right\rangle + \text{effet de la}$

transition et on intègre cette avant et après la transition topologique<sup>(2)</sup>

$\Delta \alpha_{ij} = \Delta Q_{ij} + \Delta \log \bar{a} \frac{\delta_{ij}}{2} + \Delta X_{ij}$  où  $\Delta X_{ij}$  décrit l'effet des transitions topologiques. (Il n'y a pas de rotation induite par les transitions topologiques). Comme le bâti de la région ne change pas après les transitions topologiques  $\Delta X_{ij} = 0$  et  $\Delta X_{ij} = -\Delta Q_{ij} - \Delta \log \bar{a} \frac{\delta_{ij}}{2}$ .

En supposant la transition topologique instantanée, on peut donc écrire  $V_{ij} = \frac{D \tilde{\alpha}_{ij}}{dt} + \frac{d \log \bar{a} \delta_{ij}}{2} + \sum_{\text{transitions } k} \Delta X_{ij} \delta(t - t_k) + \dots$

Now allons prendre l'exemple de la division cellulaire et de l'apoptose. Si il y a  $N_c = F$  cellules il y a  $V$  vertex et donc  $N_E = V$  bimangles (un bimangle par vertex) et nous avons vu que  $E = 3V - 3N_f$ . Avec ces notations la relation d'Euler s'écrit  $N_c + N_f - \frac{3N_E}{2} = 1$ . Soit si  $N_c$  est assez grand  $N_c = \frac{N_t}{2}$ . Quand on fait une division, on rajoute 1 vertex, 2 bimangles et l'aire moyenne passe de  $\frac{A}{N_E}$  à  $\frac{A}{N_E + 2}$ . Soit  $\Delta \log \bar{a} = -\log \left(1 + \frac{2}{N_t}\right)$

hors d'une apoptose on ajoute 2 triangles  $\Delta \log \bar{a} = -\log \left(1 - \frac{2}{N_t}\right)$ . On en déduit donc que  $V_{hh} = \frac{d \log \bar{a}}{dt} + \sum_{\text{divisons}} \log \left(1 + \frac{2}{N_t}\right) \delta(t - t_h) + \sum_{\text{apoptoses}} \log \left(1 - \frac{2}{N_t}\right) \delta(t - t_a)$

On moyenne sur un temps  $T$  pendant lequel il y a  $N_d$  divisions et  $N_a$  apoptoses  $V_{hh} = \frac{d \log \bar{a}}{dt} + \frac{1}{T} \frac{N_d}{N_c} - \frac{1}{T} \frac{N_a}{N_c}$  soit

$V_{hh} = \frac{d \log \bar{a}}{dt} + h_d - h_a$ . Or  $\frac{d \log \bar{a}}{dt} = -\frac{d \log P}{dt} = -\frac{1}{P} \frac{dp}{dt}$

soit  $\nabla \vec{p} = -\frac{1}{P} \left[ \frac{\partial p}{\partial t} + (\vec{v} \cdot \vec{\nabla})_p \right] + (h_d - h_a)$

$$\text{Où } \frac{\partial p}{\partial t} + \vec{V} \cdot \vec{p} \vec{v} = (\text{hd. ha})_P$$

Rq Nous n'avons regardé que la composante diagonale il faudrait aussi regarder le cisaillement qui induit par la division  $\tilde{C}_{ij}$  et l'ajout  $\tilde{E}_{ij}$  que l'on sait écrire de façon microscopique pour chaque division ou ajout.

Pour un processus  $\tilde{T}_3$ , il y a danger de cisaillement pur mais la valeur du changement  $\Delta \tilde{Q}_{ij}$  dépend du chemin divisé et pas seulement de l'état initial et l'état final. L'article de

Monbet et al. propose un chemin pendant lequel il n'y a pas de contribution du terme de corrélation  $\tilde{D}_{ij}$  et du terme corotational

S'il n'y a que des processus  $\tilde{T}_3$  on peut écrire

$$\tilde{V}_{ij} = \frac{D \tilde{Q}_{ij}}{Dt} + \tilde{D}_{ij} + \tilde{T}_{ij} . \text{ Le } \sim \text{ dénote les termes de trace nulle}$$

$$\tilde{T}_{ij} = \sum_{\tilde{T}_3} \Delta \tilde{X}_{ij} \delta(t - t_h) = - \sum_{\tilde{T}_3} \Delta \tilde{Q}_{ij} \delta(t - t_h)$$

En sommant sur tous les processus topologiques

$$\tilde{V}_{ij} = \frac{D \tilde{Q}_{ij}}{Dt} + \tilde{D}_{ij} + \tilde{T}_{ij} + \tilde{C}_{ij} + \tilde{E}_{ij} \quad \text{et pour la partie}$$

cancelles  $\tilde{T}_3$  division extérieure

$$\text{diagonale } V_{hh} = - \frac{1}{P} \frac{dp}{dt} + (\text{hd} - \text{hc})$$

Rq Stricto sensu  $p - p_i$  est la densité de triangles mais comme il y a en moyenne deux triangle par cellule  $- \frac{1}{P} \frac{dp_i}{dt} = - \frac{1}{P_c} \frac{dp_c}{dt}$  et nous utiliserons  $p = p_c$ . C'est bien le même  $\frac{p_i}{dt} = \frac{p_c}{dt}$ . Résultat que nous avons obtenu de la théorie de l'ajoutition en moyenne (nous avons ici ignoré le bout en définissant hd et hc).

Ce résultat nous permet de décomposer le taux de cisaillement en contributions des processus  $\tilde{T}_3$ , des divisions cellulaires et des mat celulaires ou entrées, on sachant calculer explicitement toute

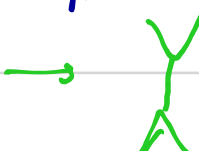
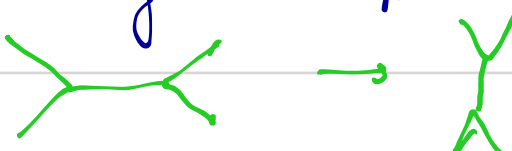
les contributions ainsi que celle des corrélations  $\tilde{D}_{ij}$  de manière explicite à partir des configurations microscopiques du tissu

4. Application au développement de l'axe de la phragmite  
Une application de ces idées a été montrée (rajouté) dans le résumé de Y Belkacem (article Guinot et al.). Je vais montrer ici une application au développement de l'axe de la phragmite dans la phase jupe. L'idée est de décomposer le taux de croissance  $V_{ij}$  macroscopique en une somme de tous les processus que nous avons décrit. L'expérience donne des images et des fibres de l'axe qu'il faut regrouper et trianguler.

A partir de ces images les auteurs obtiennent directement le taux de croissance  $V_{ij}$  et toutes les contributions  $\tilde{D}_{Qij}$ ,  $\tilde{D}_{ij}$ ,  $C_{ij}$ ,  $E_{ij}$  et  $T_{ij}$ . Les images sont séparées en 2 séries, le taux  $D_t$  d'extension entraîne  $V_{th}$  et le taux de croissance pur  $\tilde{V}_{ij}$ . Sur chaque image est tracée la direction du vecteur propre correspondant à la valeur propre positive du tenseur sans trace  $\tilde{V}_{ij}$   $\tilde{D}_{Qij}$  ou  $\tilde{T}_{ij}$ . Les fibres montrent les variations temporelles de ces quantités. Pour étudier la variation le long de l'axe, les auteurs divisent l'axe en 4 régions que je ne montre pas ici.

Il y a deux phases de croissance, avec une transition entre ces 2 phases 24h après la formation de la jupe (APF)

Pendant la phase I les cellules s'allongent le long de l'axe x proximal distal et font des transitions  $T_3$  le long de l'axe longitudinale y antéro-postérieure. Qui correspondent à  $T_{xx} \geq 0$  soit à  $T_{yy} \leq 0$



l'elongation des cellules qui augmente avec le temps  $\frac{\partial Q_{xx}}{\partial t} \geq 0$ . Les autres contributions division cellulaire, extrusion, mort.  $D_t$  très faible. La contribution de la mort cellulaire ou extrusion au croissance est nulle. Le processus  $T_3$  purifié correspond à  $T_{xx} \geq 0$  et les processus  $T_3$  sont actifs. Dans la phase II après 24h APF. L'elongation des cellule le long de

$\lambda$  diminue, la déformation de cisaillement qui augmente à cause des transitions  $T_3$  qui ont une orientation le long de  $x$ . Soit de l'axe proximodistal. Si on regarde le cisaillement cumulé, le terme de corrélation n'est pas totalement négligeable.

Le taux d'expansion uniforme  $V_{ijk}$  est très faible. Dans la phase II toutes les contributions s'annulent. Dans la phase I, le taux de division est positif mais la variance de l'âge des cellules,  $\text{Var}_{ijk}$  des triangles  $\text{d} \log a^i < 0$ . L'expansion due à la division cellulaire est compensée par la diminution de la taille des cellules.

Le groupe de Y. Bellalid et B. Guiso a fait une théorie assez similaire à celle de Merle et al présentée dans ce cours. Mais

- L'approche théorique est similaire mais au lieu de faire d'un état de référence pour chaque triangle, elle fait d'un tenseur de tension pour une petite région de cellules et étudient le changement de tension de tension

- Ils ne trouvent pas de taux de corrélation.

- Leur résultat final montre bien que la contrainte  $V_{ij}$  est décomposée en une somme de contributions qui sont les mêmes qu'eux.

- Ils introduisent d'autres processus "biologiques": fusion, intégration, flux de cellules. Pour analyser les expériences ils font des mesures sur le temps et gèrent une modélisation spatiale plus fine que celle de l'équipe de S. Eaton ( $\sim 40$  cellules). Ils montrent une étude de l'âge de la croissance que pour cette raison est difficile à boucler quantitativement.

- Article récent du groupe de M. Nyant sur la plasticité des tissus à partir d'un modèle le Vertex à 2 dimensions

## Début du cours 6

Taux de croissance  $N_{ij} = \frac{N_{hh}}{2} \delta_{ij} + \tilde{v}_{ij} + E_{ij}$  w

$$\vec{\omega} = \omega \vec{z} = \nabla \times \vec{v} \quad N_{hh} = \vec{V} \cdot \vec{V} = \frac{d \log a}{dt} \quad \tilde{v}_{ij} = \frac{D \tilde{q}_{ij}}{dt}$$

dérive corotatielle  $\frac{D \tilde{q}_{ij}}{dt} = \frac{d}{dt} \tilde{q}_{ij} - L[c\omega + (1-c) \frac{d \ln a}{dt}] E_{ij} \tilde{q}_{ij}$

(1) Discrémination  $M_{ij} = \sum_{h \in \partial A} h_k h_k^i n_h^j$  où  $\bar{h}_h = \frac{\bar{h}_{\alpha} + \bar{h}_{\beta}}{2}$  est

le déplacement du milieu du côté  $k$ . Pour le long  $\ell$  à une distance  $x$  de  $\alpha$   $\bar{h}(x) = \bar{h}_{\alpha} + 2(\bar{h}_{\beta} - \bar{h}_{\alpha})$  et  $\int d\ell \bar{h}(x) = \ell \int_0^1 dx \bar{h}(x)$

$$= \bar{h}_{\alpha} \ell + \frac{(\bar{h}_{\beta} - \bar{h}_{\alpha}) \ell}{2} = \ell \bar{h}$$

(2) Il n'y a pas de rotation induite par les transitions topologiques  $w=0$  et on peut ignorer la base corotatielle et le taux de croissance

## Bibliographie

- B. Guirao et al. *elife*, 4:e08519 (2015)
- M. Merel et al. *Phys. Rev E* 95, 032101 (2017)
- R. Etournay et al. 4 e07090 (2015)
- M. Popovic et al. Improving the plasticity of epithelial tissues from their geometry

